

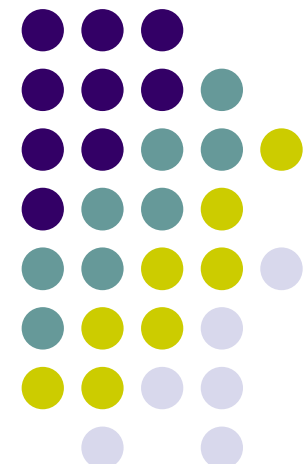
# Lekcija 5: *Adaptivni regulator s promjenjivim pojačanjem*

---

Prof.dr.sc. Jasmin Velagić  
Elektrotehnički fakultet Sarajevo

Kolegij: Adaptivno i robusno upravljanje

2012/2013





## Uvod

- **Ragulator s promjenjivim pojačanjem (Gain Scheduling - GS) ili regulator s preprogramiranim pojačanjem.**
- U mnogim situacijama je poznato kako se dinamika procesa mijenja s radnim uvjetima procesa.
- Jedan od glavnih uzroka promjena u dinamici procesa su nelinearnosti.
- Moguće je mijenjati parametre regulatora na temelju nadziranja radnih uvjeta (radne tačke) procesa.
- **Ovaj princip je poznat pod imenom promjena pojačanja (GS), budući da je originalno razvijen da se prilagođava promjenama pojačanja procesa.**
- **GS je nelinearni feedback regulator koji sadrži linearni regulator čiji parametri se mijenjaju kao funkcija radnih uvjeta na preprogramiran način.**



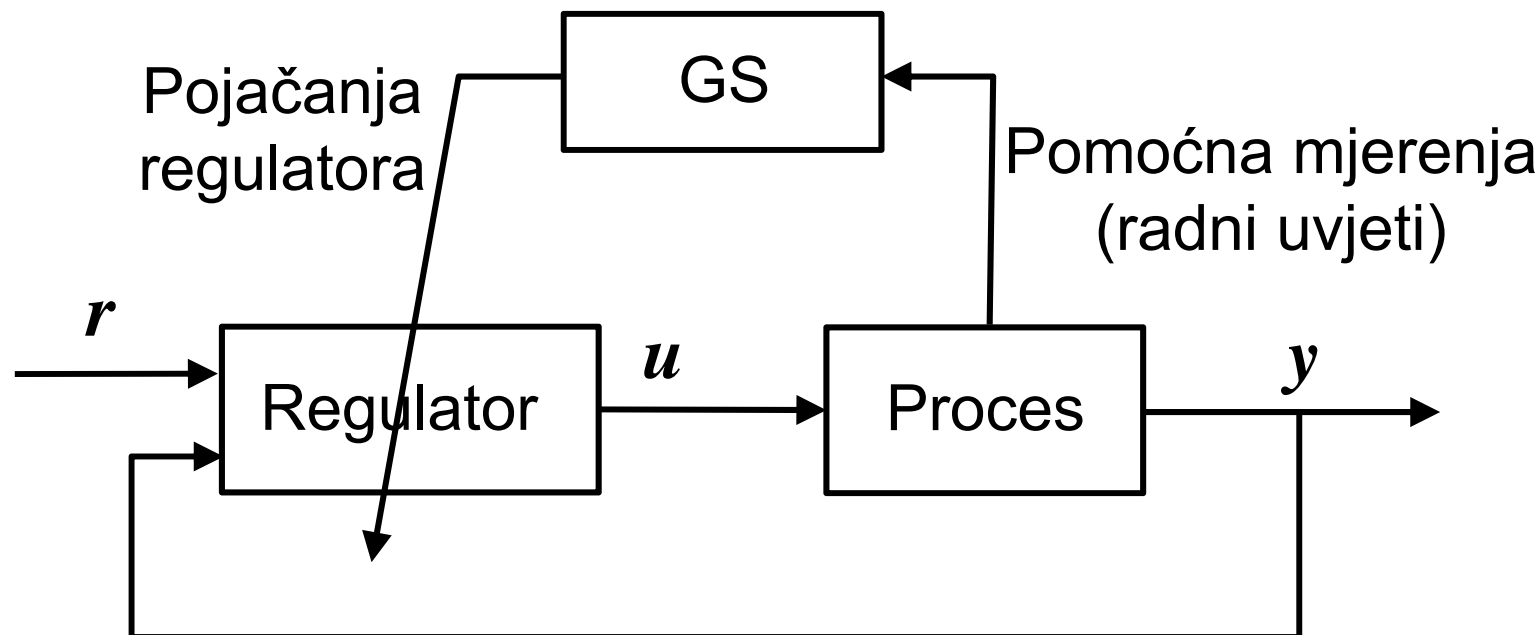
## Uvod

- Prema tome **GS regulator se može primijeniti za upravljanje nelinearnim procesima poznatih parametara i strukture s promjenom radne tačke.**
- Rad GS-a zasniva se na:
  - 1) **mjerenuju radnih uvjeta procesa** (parametara) kako bi se kompenzirale promjene parametara procesa i/ili poznate nelinearnosti u procesu.
  - 2) **određivanju radne tačke** i na temelju nje računanje: upravljačke varijable, izlaza iz regulatora i izlazne veličine.
  - 3) **određivanju pojačanja regulatora.**
- Kod GS regulatora potrebno je opisati područje radnih tačaka **parametarskom funkcijom**, gdje je ta funkcija **parametar**, kao i **linearizirati proces** u cijelom radnom području ili za konačan broj radnih tačaka.



## Uvod

- Struktura GS regulatora



- **Pronaći pomoćne varijable koje koreliraju sa promjenama u dinamici procesa.**
- Ove informacije mogu se iskoristiti za reduciranje efekata promjene parametara jednostavnim mijenjanjem parametara regulatora kao **funkcije pomoćnih varijabli**.



## Uvod

- GS se može promatrati kao zatvoreni sistem upravljanja u kome se pojačanja povratne veze podešavaju (namještaju) korištenjem **unaprijedne kompenzacije** (feedforward compensation).
- **Glavni problem u dizajnu sistema sa GS-om jest pronaći prikladne varijable predviđanja.**
- Ovo je u direktnoj vezi s poznavanjem fizikalnosti upravljanog sistema (procesa).
- U procesnom upravljanju stopa porasta proizvodnje (**production rate**) se često uzima kao varijabla predviđanja, budući da su vremenska ograničenja i vremenska kašnjenja inverzno proporcionalni ovoj varijabli.
- Kada se odrede varijable predviđanja, **parametri regulatora se računaju u brojnim radnim tačkama** korištenjem prikladne metode.



## Uvod

- Nakon toga regulator se namješta ili kalibrira za svaku radnu tačku.
- **Stabilnost i performanse sistema se tipično evaluiraju simulacijom, pri čemu se posebna pažnja posvećuje prijelazu između radnih tačaka.**
- Broj elemenata u tabeli predviđanja (scheduling table) se povećava ukoliko je to potrebno.
- Međutim, ne postoji povratna informacija između performansi zatvorenog sistema prema parametrima regulatora.
- Ponekad je moguće dobiti pojačanja GS-a uvođenjem nelinearnih transformacija na način da transformirani sistem ne ovisi o radnim uvjetima (tačkama).



## Uvod

- Mjerenja pomoćnih varijabli se koriste zajedno sa mjeranjima procesa za računanje transformiranih varijabli.
- Zatim se transformirana upravljačka varijabla računa i ponovno transformira prije negoli se primijeni na proces.
- **Dobiveni regulator sadrži dvije nelinearne transformacije sa linearnim regulatorom između njih.**
- **Nedostatak GS-a** – radi se o on-line kompenzaciji. Ne postoji povratna veza za kompenzaciju u odnosu na nekorektno predviđanje.
- Drugim riječima, **neočekivana promjena u procesu (promjena koja nije uzeta u obzir kod dizajna regulatora) uzrokuje neželjeno ponašanje.**
- **Prednosti GS-a:** brza adaptacija i jednostavna implementacija.



## Sinteza (dizajn) GS regulatora

- Ne postoje općenita pravila (recepture) za sintezu GS regulatora.
- Ključno pitanje jest **odrediti varijable** koje se mogu koristiti kao varijable predviđanja.
- Nadalje, ovi **pomoći signali moraju reflektirati radne uvjete (tačke) procesa.**
- Idealno bi trebali postojati jednostavnii izrazi koji bi povezivali parametre regulatora s varijablama predviđanja.
- Zbog toga je važno imati kvalitetan uvid u dinamiku procesa ako se koristi GS.
- Korisne ideje: **linearizacija nelinearnih aktuatora, GS zasnovan na mjerenuju pomoćnih varijabli, vremensko skaliranje zasnovano na stopi porasta proizvodnje, nelinearne transformacije.**



## Sinteza (dizajn) GS regulatora

- Promjena radne tačke dovodi do promjene dinamičkih karakteristika sistema.
- Promjenom pojačanja regulatora omogućuje se održavanje istih karakteristika u cijelom području upravljanja.
- Postupak sinteze zasniva se na:
  - **Linearizaciji procesa u više radnih tačaka.**
  - **Određivanju pojačanja za svaku radnu tačku.**
- Opis nelinearnog sistema:

$$\begin{aligned}\dot{\mathbf{x}}(t) &= \mathbf{f}(\mathbf{x}(t), u(t)) \\ y(t) &= g(\mathbf{x}(t))\end{aligned}\tag{1}$$

## Sinteza (dizajn) GS regulatora

- Oznake u jednadžbi (1) su:
  - $f$  – nelinearna vektorska jednadžba stanja,
  - $g$  – nelinearna izlazna funkcija,
  - $t$  – vrijeme,
  - $u$  – upravljački signal,
  - $x$  – vektor varijabli stanja nelinearnog sistema,
  - $y$  – izlazna varijabla.
- Područje radnih tačaka ( $x_{rt}, u_{rt}$ ) – opis parametarskom jednadžbom:

$$f_1(x_{rt}(\lambda), u_{rt}(\lambda)) = 0 \quad (2)$$



## Sinteza (dizajn) GS regulatora

- Oznake u jednadžbi (2) su:
  - $f_1$  – parametarska funkcija kojom su određene radne tačke s obzirom na parametar  $\lambda$ .
  - $x_{rt}$  i  $u_{rt}$  – varijable stanja i upravljačka varijabla u radnoj tački.
  - $\lambda$  – parametar za određivanje radne tačke.
- Linearizacija:

$$\dot{\tilde{x}}(t) = A(\lambda)\tilde{x}(t) + B(\lambda)\tilde{u}(t)) \quad (3)$$

$$\tilde{y}(t) = C^T(\lambda)\tilde{x}(t)$$



## Sinteza (dizajn) GS regulatora

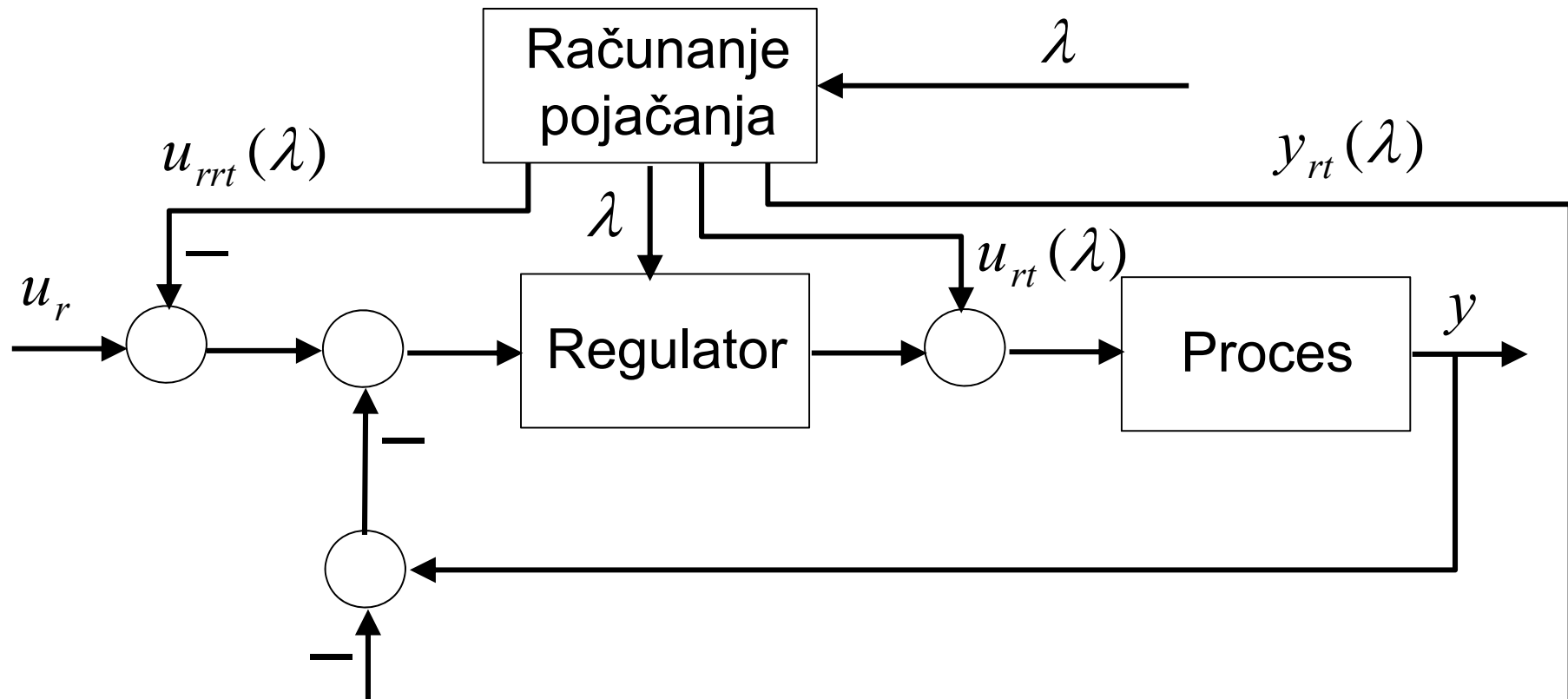
- Oznake u jednadžbama (3) su:
  - $A(\lambda) = D_1 f(x_{rt}(\lambda), u_{rt}(\lambda))$  – matrica sistema dobivena linearizacijom u radnoj tački  $(x_{rt}(\lambda), u_{rt}(\lambda))$ .
  - $B(\lambda) = D_2 f(x_{rt}(\lambda), u_{rt}(\lambda))$  – ulazna matrica dobivena linearizacijom u radnoj tački  $(x_{rt}(\lambda), u_{rt}(\lambda))$ .
  - $C^T(\lambda) = D f(x_{rt}(\lambda))$  – izlazna matrica dobivena linearizacijom u radnoj tački  $(x_{rt}(\lambda), u_{rt}(\lambda))$ .
  - $\tilde{u}(t) = u(t) - u_{rt}(\lambda)$  – odstupanje upravljačkog signala od vrijednosti u radnoj tački.
  - $\tilde{x}(t) = x(t) - x_{rt}(\lambda)$  – odstupanje vektora varijabli stanja od radne tačke.
  - $\tilde{y}(t) = y(t) - g(x_{rt}(\lambda))$  – odstupanje izlazne varijable od radne tačke.



## Sinteza (dizajn) GS regulatora

- Uz uvjete stabilnosti dobiva se skup regulatora:

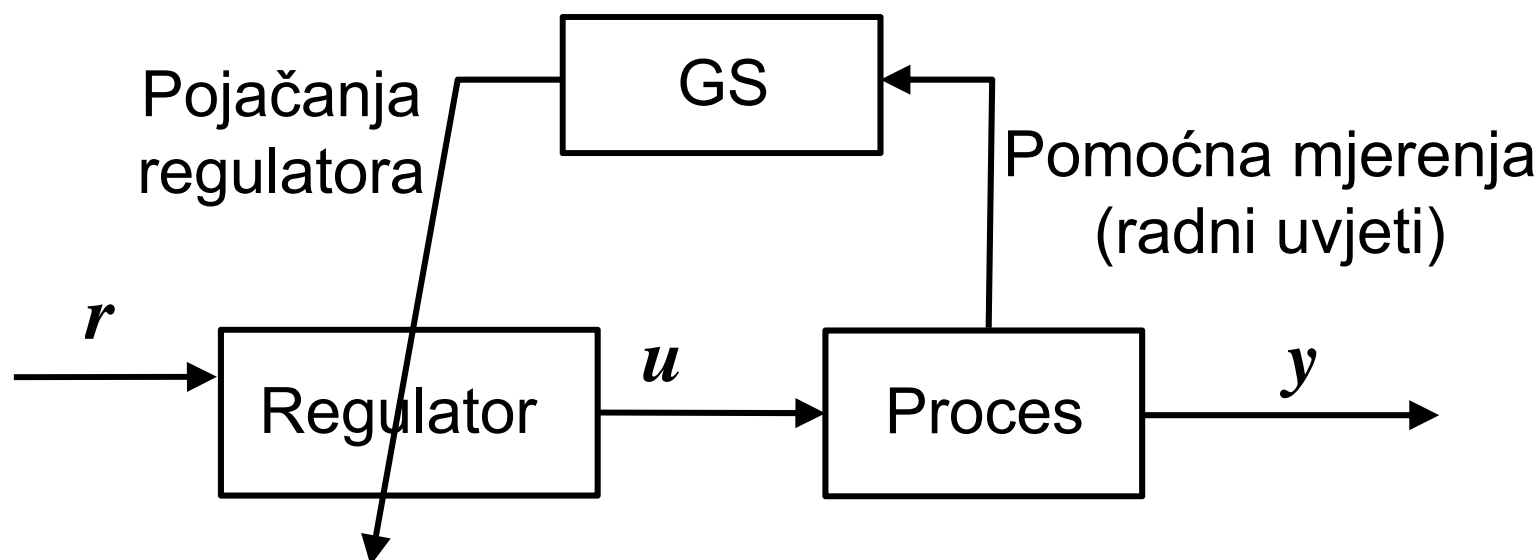
$$\dot{z}(t) = A_r(\lambda)z(t) + B_r(\lambda)\varepsilon(t) \quad (4)$$
$$u(t) = C_r(\lambda)z(t) + D_r(\lambda)\varepsilon(t)$$





## Sinteza (dizajn) GS regulatora

- Na prethodnoj slici dan je opći oblik regulatora s promjenjivim pojačanjem.
- Češći oblik regulatora s promjenjivim pojačanjem prikazan je na sljedećoj slici.





## Linearizacija nelinearnih aktuatora

- **Sistem sa nelinearnim ventilom.** Prepostavlja se da je nelinearnost oblika:

$$v = f(u) = u^4, \quad u \geq 0 \quad (5)$$

- Neka je  $\hat{f}^{-1}$  aproksimacija inverzne karakteristike ventila.
- Za kompenziranje nelinearnosti, izlaz regulatora se propušta kroz ovu funkciju prije negoli se primijeni na ventil (slika na sljedećem slajdu).
- Ovo daje sljedeći izraz:

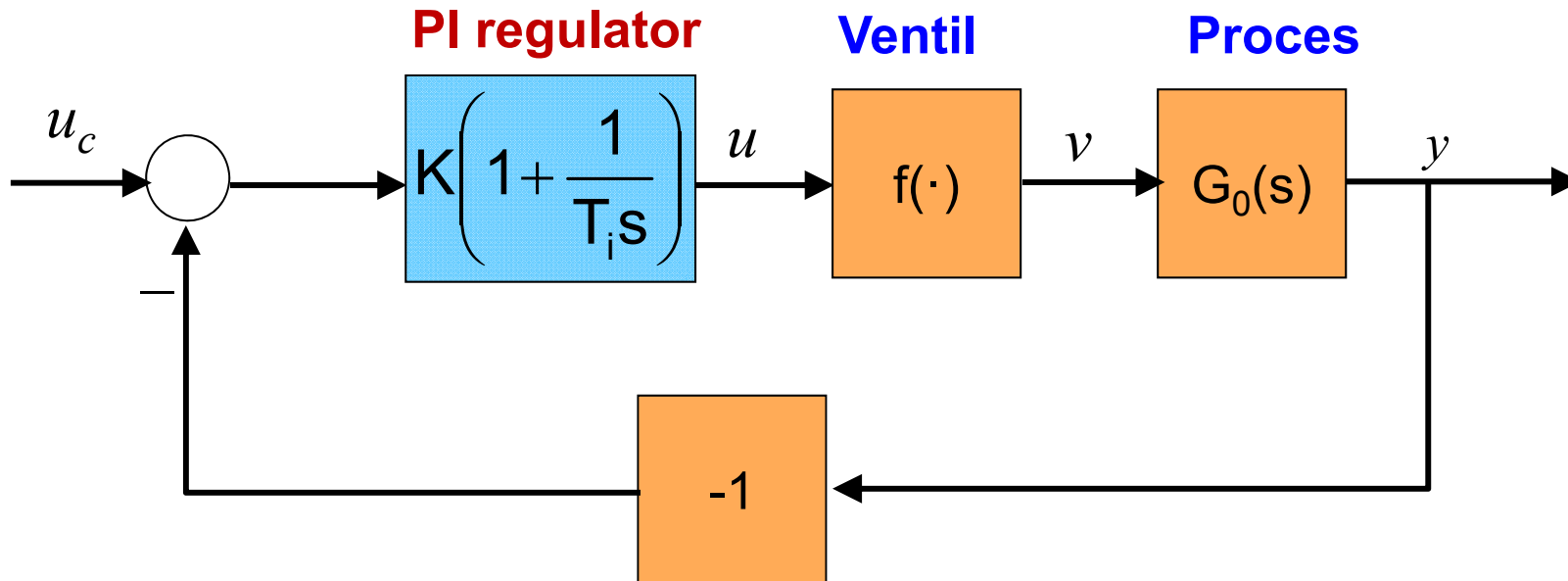
$$v = f(u) = f(\hat{f}^{-1}(c)) \quad (6)$$

gdje je  $c$  izlaz iz PI regulatora.



## Linearizacija nelinearnih aktuatora

- Blok dijagram sistema upravljanja protokom sa PI regulatorom i nelinearnim ventilom.



- Linearizacija sistema oko radne tačke u stacionarnom stanju pokazuje da je inkrementalno pojačanje ventila  $f'(u)$ , te da je pojačanje petlje proporcionalno sa  $f'$ .
- Sistem može dobro raditi u jednoj radnoj tački, a slabo u nekoj drugoj.



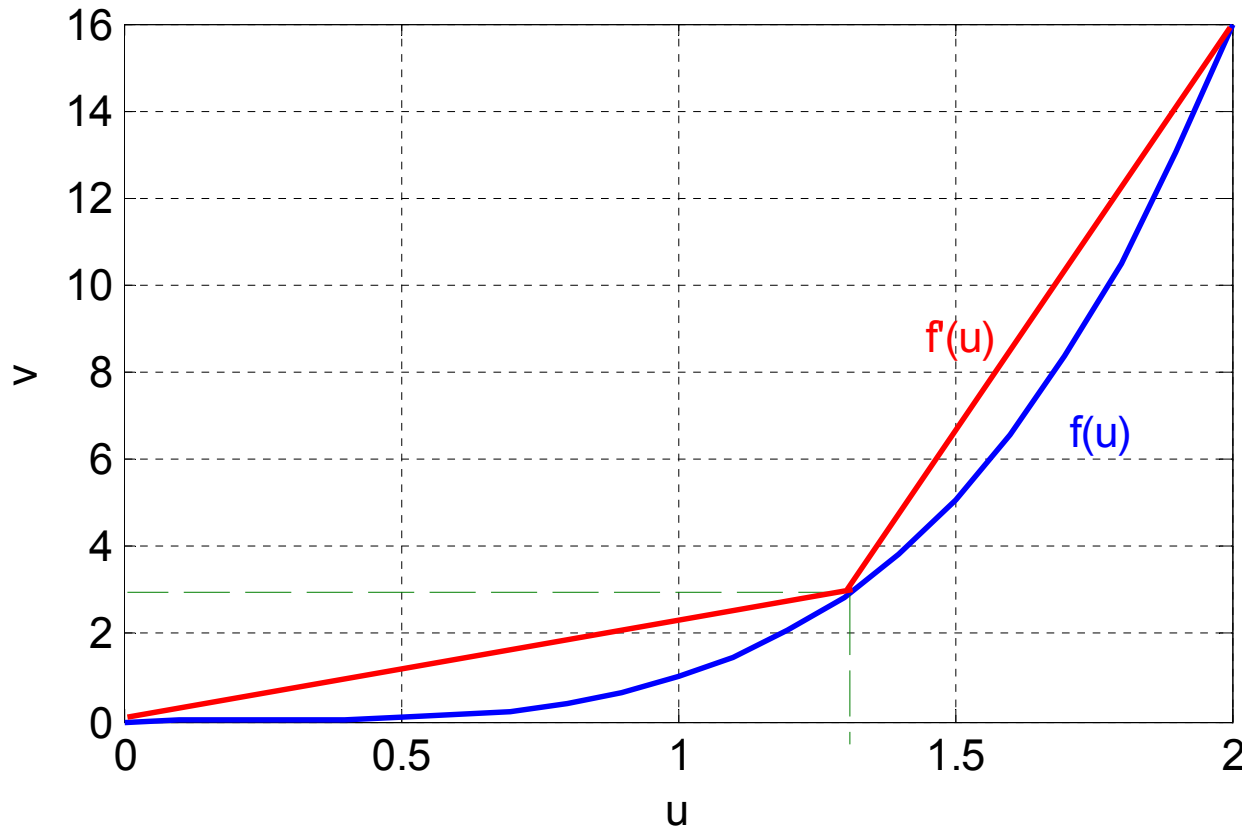
## Linearizacija nelinearnih aktuatora

- Funkcija  $f(\hat{f}^{-1}(c))$  treba imati manje varijacije u pojačanju negoli u  $f$ -u.
- Ako je funkcija  $\hat{f}^{-1}$  inverzna, tada je  $v = c$ .
- Pretpostavimo da je funkcija  $f(u) = u^4$  aproksimirana dvjema linijama (slika na sljedećem slajdu).
- Jedna linija povezuje tačke  $(0, 0)$  i  $(1.3, 3)$ , dok druga povezuje tačke  $(1.3, 3)$  i  $(2, 16)$ .
- **Na ovaj način sistem je lineariziran oko dvije radne tačke na karakteristici ventila.**
- Pojačanje petlje povratne veze je proporcionalno sa  $f'$ .
- Ventil s nelinearnom statickom karakteristikom je dio procesa.



# Linearizacija nelinearnih aktuatora

- Karakteristika ventila i njena aproksimacija



- PI Regulator je projektiran za protok manji od 3.
- Za referentni signal manji od 3 nije potrebna korekcija pojačanja PI regulatora.



## Linearizacija nelinearnih aktuatora

- Korekcija pojačanja je neophodna za referentni signal veći od 3, gdje se pojačanje svodi na iznos 3/13.
- Postupak korekcije pojačanja:
  - Množenje sa recipročnom vrijednošću nagiba karakteristike druge linije:

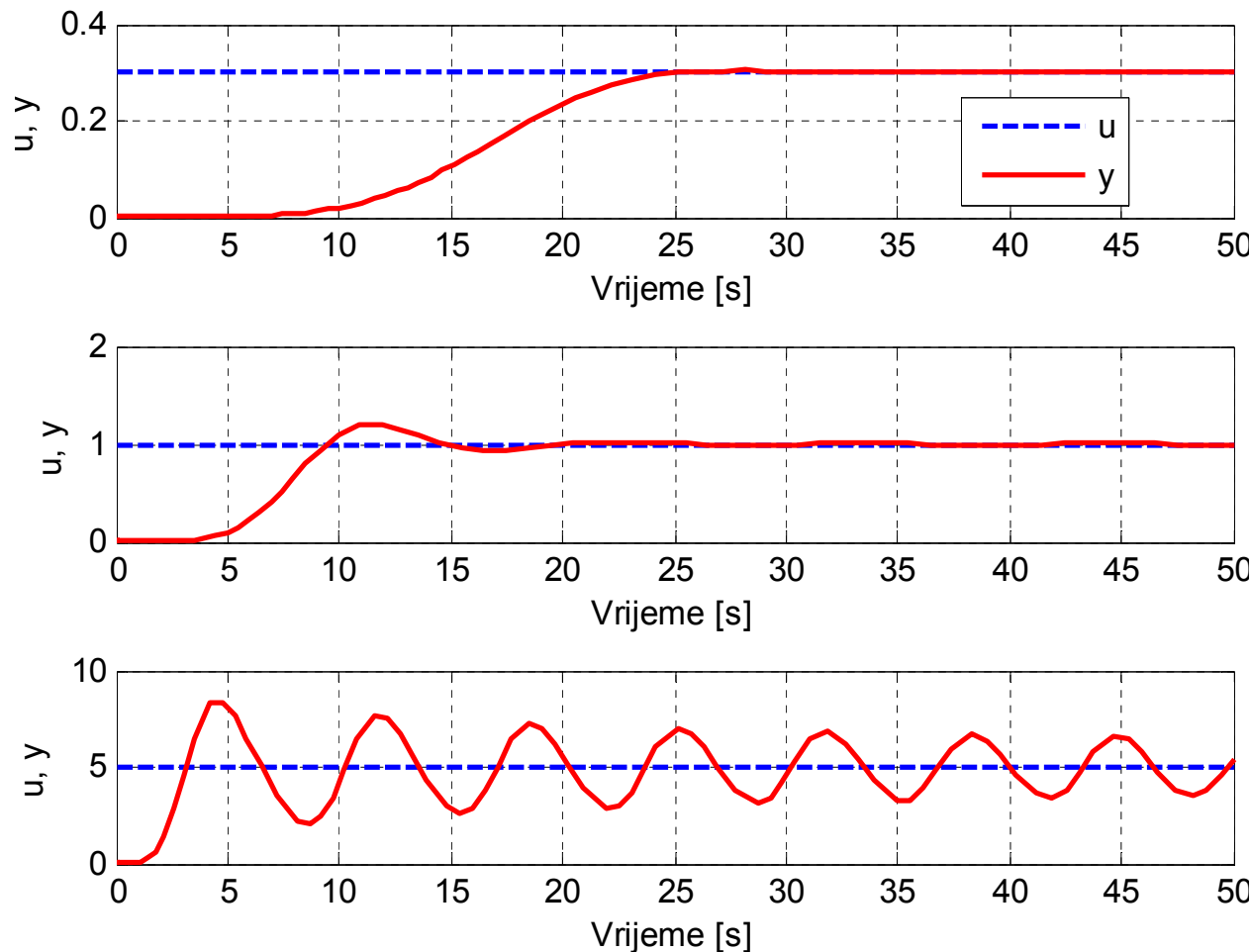
$$\hat{f}_2^{-1} = f_2'^{-1} = \frac{1}{(16-3)/(2-1.3)} = \frac{0.7}{13}$$

- Korekcija na pojačanje prve linije, odnosno množenje sa  $(3 - 0) / (1.3 - 0) = 3/1.3$ .
- Odzivi za različite vrijednosti referentnog signala sa PI i GS regulatorima prikazani su u nastavku.



# Linearizacija nelinearnih aktuatora

- Odziv sistema sa ventilom i regulatorom PI tipa čiji su parametri  $K_R = 0.15$  i  $T_i = 1$ .

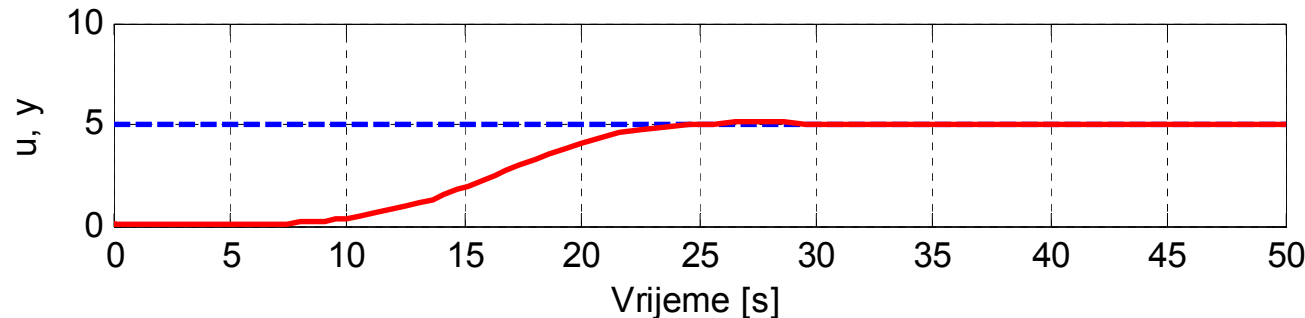
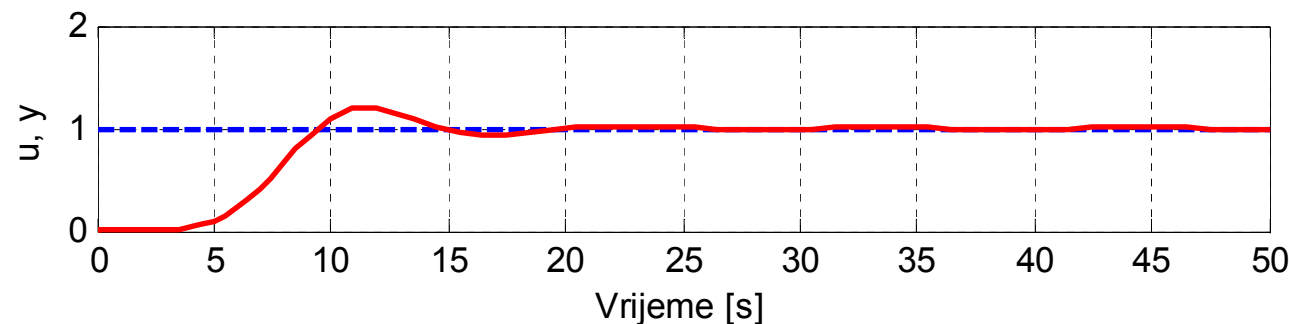
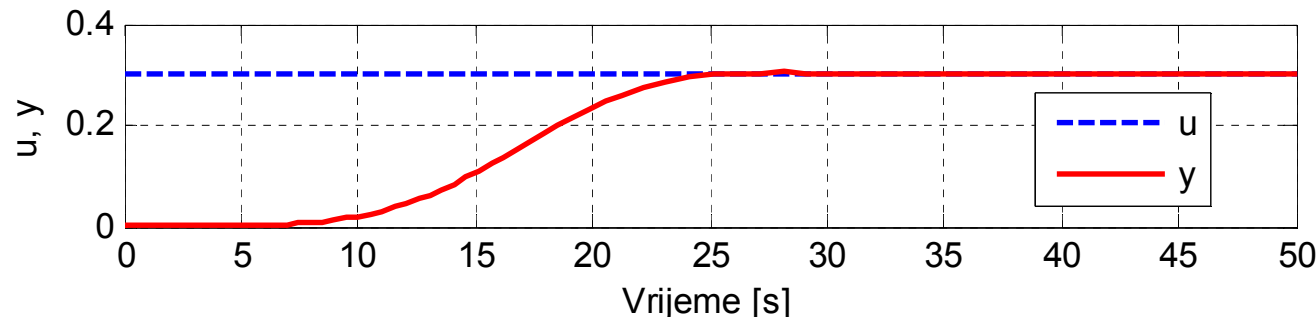




21/49

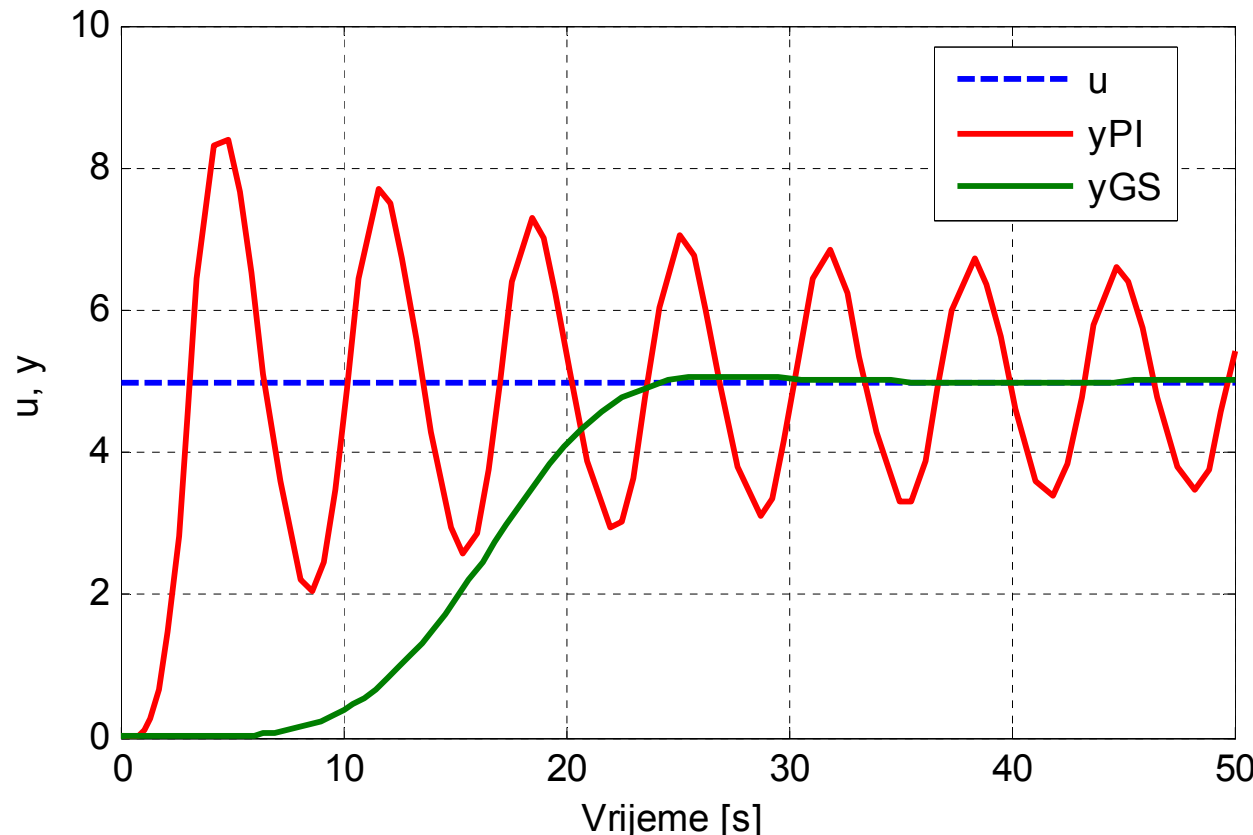
# Linearizacija nelinearnih aktuatora

- Odziv sistema sa ventilom i GS regulatorom.



# Linearizacija nelinearnih aktuatora

- Usporedba odziva PI i GS.
- Za referentni signal veći od 3 GS daje bolje rezultate, a za manji od 3 rezultati su identični (nema korekcije pojačanja).



Ponašanje regulatora  
bi se moglo  
poboljšati ako bi se  
regulator projektirao  
u više tačaka.



## Linearizacija nelinearnih aktuatora

- U ovom primjeru aproksimacija inverzne karakteristike ventila je postavljena između regulatora i ventila i time su značajno poboljšane performanse zatvorenog sistema.
- Poboljšavanjem inverzne karakteristike ventila (više linija (radnih tačaka)) moguće je proces učiniti još neosjetljivim na nelinearnost ventila.
- Ovdje je također pokazano kako se može kompenzirati poznata statička nelinearnost.
- U praksi je korisno aproksimirati nelinearnost sa nekoliko segmenata.
- U slučaju nelinearnog ventila njegova nelinearnost nije određena korištenjem mjerjenja varijabli.
- **Standardni GS sadrži mjerjenje pomoćnih varijabli koje su povezane s radnom tačkom procesa.**



## GS zasnovan na mjerenuju pomoćnih varijabli

- Projektiranje GS regulatora zasnovanog na mjerenuju pomoćnih varijabli ilustrira se na primjeru **rezervoara**.
- Razmatra se rezervoar čija je površina poprečnog presjeka  $A$  i visina  $h$ , čiji je model:

$$V = \int_0^h A(\tau) d\tau \quad (7)$$

$$\frac{dV}{dt} = A(h) \frac{dh}{dt} = q_i - \alpha \sqrt{2gh}$$

gdje je  $V$  volumen,  $q_i$  ulazni protok i  $\alpha$  je promjer otvora cijevi na izlazu rezervoara.

## GS zasnovan na mjerenuju pomoćnih varijabli

- Neka je  $q_i$  ulaz i  $h$  izlaz sistema.
- Linearizirani model u radnoj tački  $(q_{in}^0, h^0)$  je opisan funkcijom prijenosa:

$$G(s) = \frac{\beta}{s + \alpha} \quad (8)$$

gdje su:

$$\beta = \frac{1}{A(h^0)}, \quad \alpha = \frac{q_{in}^0}{2A(h^0)h^0} = \frac{\alpha\sqrt{2gh^0}}{2A(h^0)h^0}$$

- PI regulator je dan sa:

$$u(t) = K \left( e(t) + \frac{1}{T_i} \int e(\tau) d\tau \right), \quad K = \frac{2\zeta\omega - \alpha}{\beta}, \quad T_i = \frac{2\zeta\omega - \alpha}{\omega^2}$$



## GS zasnovan na mjerenuju pomoćnih varijabli

- Uvođenje izraza za  $\alpha$  i  $\beta$  daje sljedeće pojačanje GS regulatora:

$$\boxed{K = 2\zeta\omega A(h^0) - \frac{q_{in}^0}{2h^0}}$$
$$\boxed{T_i = \frac{2\zeta}{\omega} - \frac{q_{in}^0}{2A(h^0)h^0\omega^2}} \quad (9)$$

- Numeričke vrijednosti su često takve da vrijedi  $\alpha \ll 2\zeta\omega$ .
- Predviđanje se sada može pojednostaviti na:

$$\boxed{K = 2\zeta\omega A(h^0), \quad T_i = \frac{2\zeta}{\omega}}$$



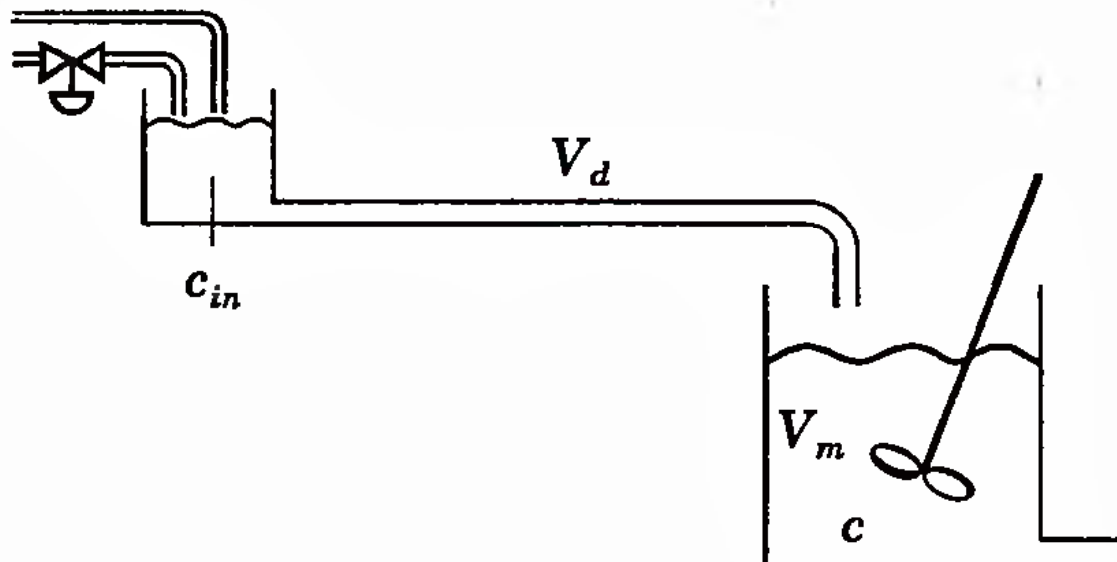
## GS zasnovan na mjerenuju pomoćnih varijabli

- U ovom slučaju je dovoljno učiniti pojačanje proporcionalnim poprečnom presjeku bazena.
- Ovaj primjer ilustrira da je ponekad dovoljno mjeriti jednu ili dvije varijable u procesu i koristiti ih kao ulaze u modul predikcije pojačanja.
- Često nije lahko odrediti parametre regulatora kao funkciju mjerenih varijabli.
- Dizajn regulatora mora biti ponavljan za različite tačke procesa.
- Posebna pažnja mora se posvetiti ako su mjerni signali zahvaćeni šumom – potrebno je filtriranje prije nego se mjerne veličine koriste kao varijable predviđanja.
- U nastavku se opisuje dizajn regulatora na temelju stope porasta procesa.



## Sinteza na temelju stope porasta

- **Regulacija koncentracije fluida** regulacijom protoka kroz cijev.
- Promatra se sistem na slici.



Varijable sistema su:

- $c_{in}$  – koncentracija u ulaznom rezervoaru.
- $V_d$  – volumen cijevi.
- $V_m$  – volumen rezervoara
- $c$  – koncentracija u izlaznom rezervoaru.
- $q$  – protok.

- U prvom rezervoaru nema miješanja, a drugi rezervoar ima idealno miješanje.



## Sinteza na temelju stope porasta

- Ponašanje sistema je opisano jednadžbom balansa masa:

$$V_m \frac{dc(t)}{dt} = q(t)(c_{in}(t - \tau) - c(t)) \quad (10)$$

gdje je:  $\tau = V_d / q(t)$

- Uvodimo oznaku za vremensku konstantu:

$$T = V_m / q(t)$$

i dobivamo funkciju prijenosa procesa za fiksni protok  $q$ :

$$G_o(s) = \frac{e^{-s\tau}}{1 + sT} \quad (11)$$



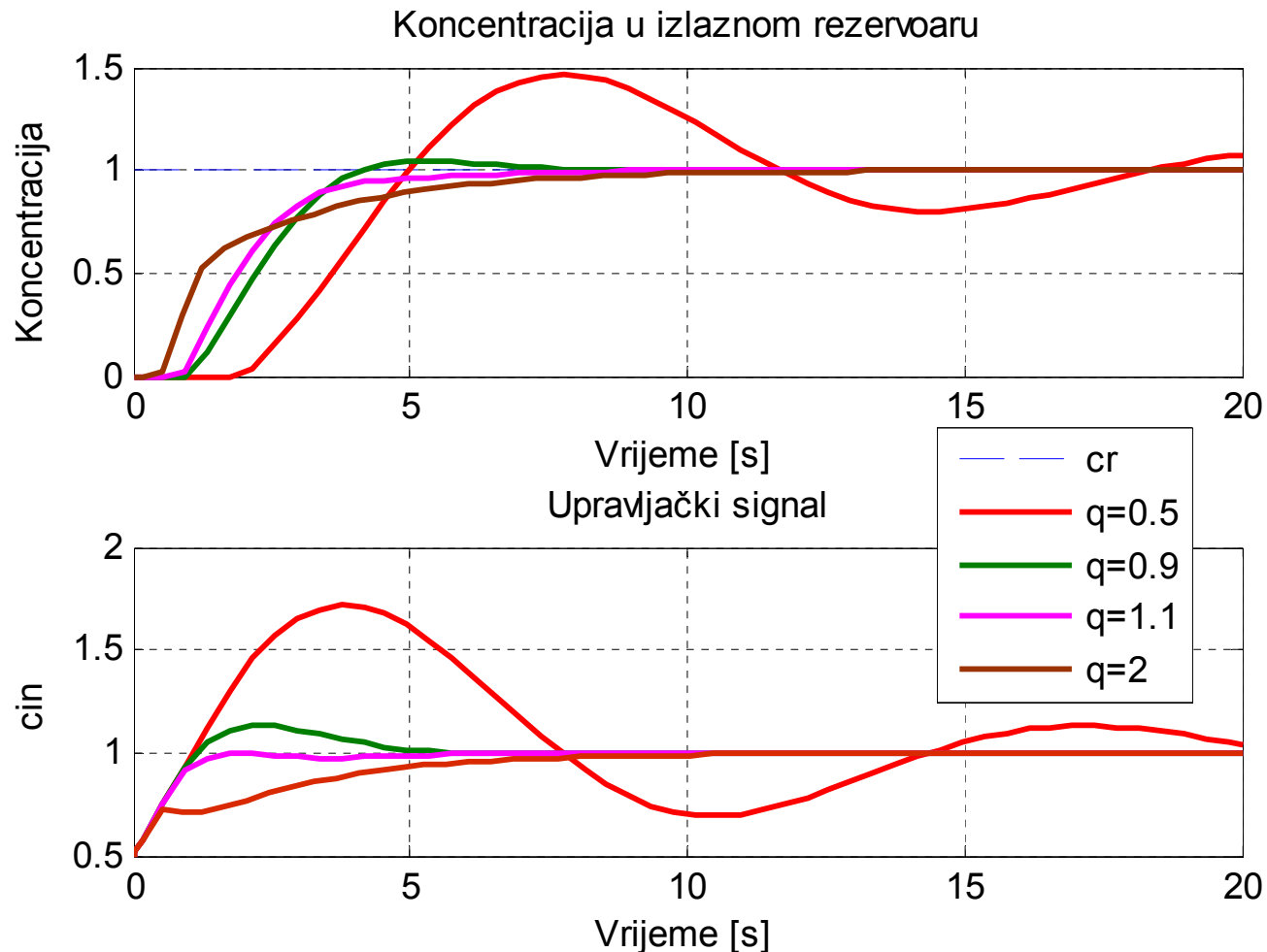
## Sinteza na temelju stope porasta

- Dinamika sistema je karakterizirana vremenskim kašnjenjem i dinamikom prvog reda.
- Vremenska konstanta  $T$  i vremensko kašnjenje  $\tau$  su inverzno proporcionalni protoku  $q$ .
- Regulator je prvo projektiran za nominalan slučaj, čemu odgovara  $q = 1$ ,  $T = 1$  i  $\tau = 1$ .
- PI regulator sa pojačanjem  $K = 0.5$  i integralnom vremenskom konstantom  $T_i = 1.1$  daje zadovoljavajuće rezultate u ovom slučaju.
- Preskok u odzivu raste s smanjenjem protoka i sistem postaje trom kako protok raste.
- Zbog sigurnosti izvođenja operacija poželjno je podešavati regulator prema najmanjem protoku.



## Sinteza na temelju stope porasta

- Odziv sistema i upravljačkog signala za različite vrijednosti protoka  $q$ .



## Sinteza na temelju stope porasta

- Veoma je interesantno manipulirati koncentracijom  $c$  u rezervoaru, mijenjanjem koncentracije u ulaznom rezervoaru.
- Za fiksnu vrijednost protoka  $q$ , dinamika procesa može se opisati funkcijom prijenosa:

$$G(s) = \frac{e^{-s\tau}}{1+sT} \quad \tau = V_d / q(t), \quad T = V_m / q(t)$$

- Ako je  $\tau < T$  tada je jednostavno odrediti PI regulator koji će dobro funkcionirati kada je  $q$  konstantno.
- Međutim, teško je pronaći univerzalne vrijednosti parametara regulatora za široko područje vrijednosti protoka  $q$ .



## Sinteza na temelju stope porasta

- Budući da proces ima vremensko kašnjenje prirodno je koristiti regulatore sa uzorkovanim podacima (diskretni).
- Uzorkovani model s periodom  $h = V_d/(dq)$ , gdje je  $d$  cijelobrojnik, daje:

$$c(kh + h) = ac(kh) + (1 - a)u(kh - dh) \quad (12)$$

gdje je:

$$a = e^{-qh/V_m} = e^{-V_d/(V_m d)}$$

- Model uzorkovanih podataka ima samo jedan parametar,  $a$ , koji ne ovisi o  $q$ .
- Regulator s konstantnim pojačanjem može se lako projektirati za modele s uzorkovanjem podataka.

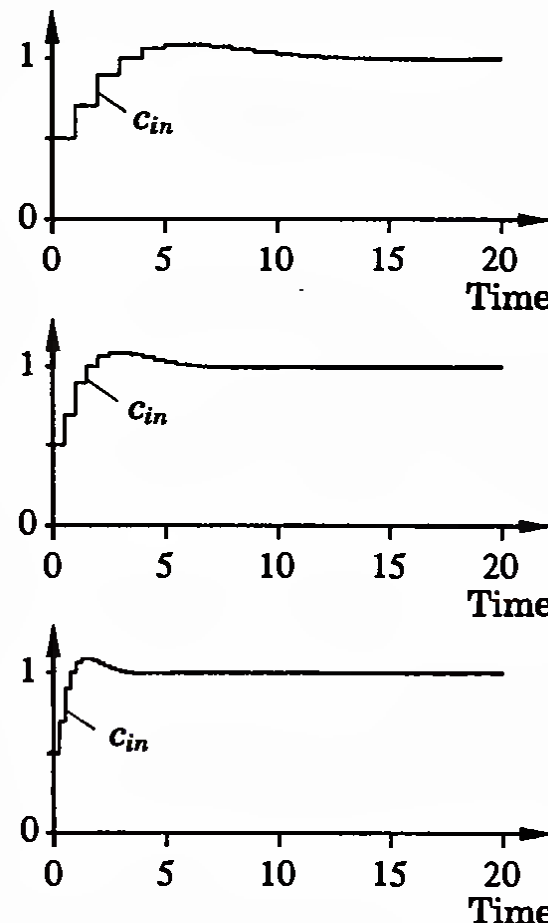
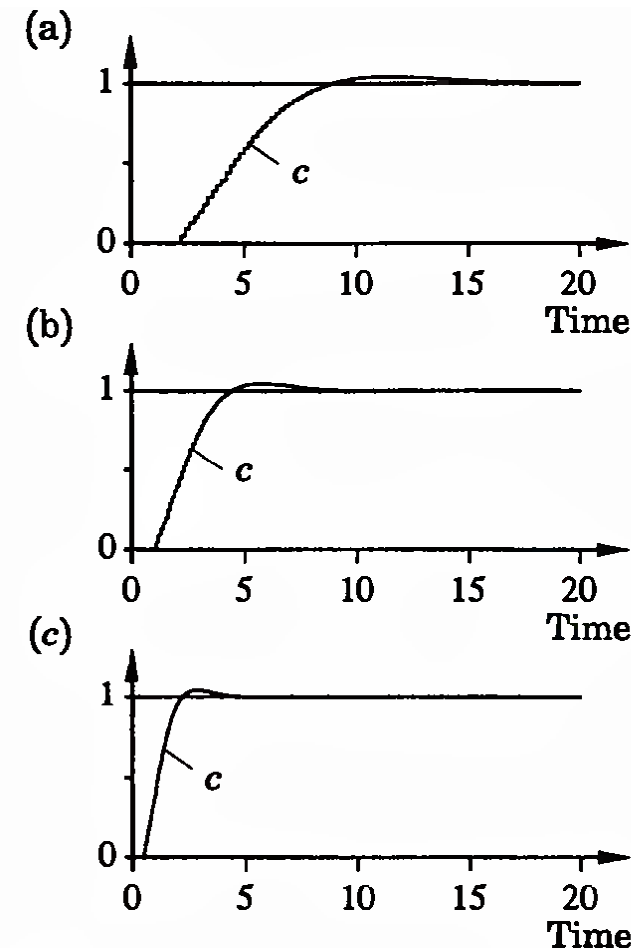


## Sinteza na temelju stope porasta

- U ovom slučaju GS je realiziran jednostavno: imamo **regulator s konstantnim parametrima u kojem je brzina uzorkovanja (sampling rate) inverzno proporcionalna brzini protoka fluida.**
- Drugim riječima, imamo **vremenski diskretni regulator kod koga je period uzorkovanja inverzno proporcionalan protoku.**
- Na ovaj način dobiva se isti odziv, neovisno o protoku, samo s različitim vremenskim kašnjenjem.
- Rezultati, odzivi izlazne koncentracije i upravljačkih signala za tri različite vrijednosti protoka, dani su na sljedećem slajdu.
- Za implementaciju ovog GS regulatora potrebno je mjeriti ne samo koncentraciju već i protok.

## Sinteza na temelju stope porasta

- Odzivi koncentracije i upravljačkog signala sa periodom uzorkovanja  $h = 1/(2q)$  i a)  $q = 0.5$ , b)  $q = 1$ , c)  $q = 2$ .





## Korištenje nelinearnih transformacija

- Od velikog je interesa naći transformacije takve da je transformirani sistem linearan i neovisan o radnim uvjetima (tačkama).
- Sistem oblika:

$$\frac{dx(t)}{dt} = f(x(t)) + g(x(t))u(t)$$

može se transformirati u linearan sistem, omogućujući da su sva stanja mjerljiva i da vrijedi generalizirani uvjet osmotrivosti.

- Prvo se sistem transformira u fiksan linearan sistem, gdje je transformacija obično nelinearna i ovisi o stanjima procesa.



## Korištenje nelinearnih transformacija

- Zatim se projektira regulator za transformirani model upravljački signali modela se ponovno transformiraju u originalne upravljačke signale.
- Rezultat je specijalan tip nelinearnog regulatora, koji se može interpretirati kao GS regulator.
- Znanje o nelinearnostima u modelu se ugrađuje u regulator.
- U nastavku se ilustrirata korištenje nelinearne transformacije na primjeru **sistema drugog reda**:

$$\begin{aligned}\frac{dx_1}{dt} &= f_1(x_1, x_2) \\ \frac{dx_2}{dt} &= f_2(x_1, x_2, u) \\ y &= x_1\end{aligned}$$



## Korištenje nelinearnih transformacija

- Pretpostavimo da su varijable stanja mjerljive i da želimo povratnu vezu kojom će se postići odziv varijable  $x_1$  na komandni signal opisan funkcijom prijenosa kao:

$$G(s) = \frac{\omega^2}{s^2 + 2\zeta\omega s + \omega^2} \quad (13)$$

- Uvodimo nove koordinate  $z_1$  i  $z_2$ , definirane sa:

$$z_1 = x_1$$

$$z_2 = \frac{dx_1}{dt} = f_1(x_1, x_2)$$



## Korištenje nelinearnih transformacija

i novi upravljački signal  $v$ :

$$v = F(x_1, x_2, u) = \frac{\partial f_1}{\partial x_1} f_1 + \frac{\partial f_1}{\partial x_2} f_2 \quad (14)$$

- Ove transformacije rezultiraju linearnim sistemom:

$$\begin{aligned} \frac{dz_1}{dt} &= z_2 \\ \frac{dz_2}{dt} &= v \end{aligned} \quad (15)$$

- Jednostavno je da linearna povratna veza:

$$v = \omega^2(u_c - z_1) - 2\zeta\omega z_2 \quad (16)$$

## Korištenje nelinearnih transformacija

daje željenu funkciju prijenosa zatvorenog sistema (13) od  $u_c$  prema  $z_1 = x_1$  za linearni sistem (15).

- Preostaje da se transformira ponovo (unatrag) u originalne varijable.
- Ovo slijedi iz (14) i (16):

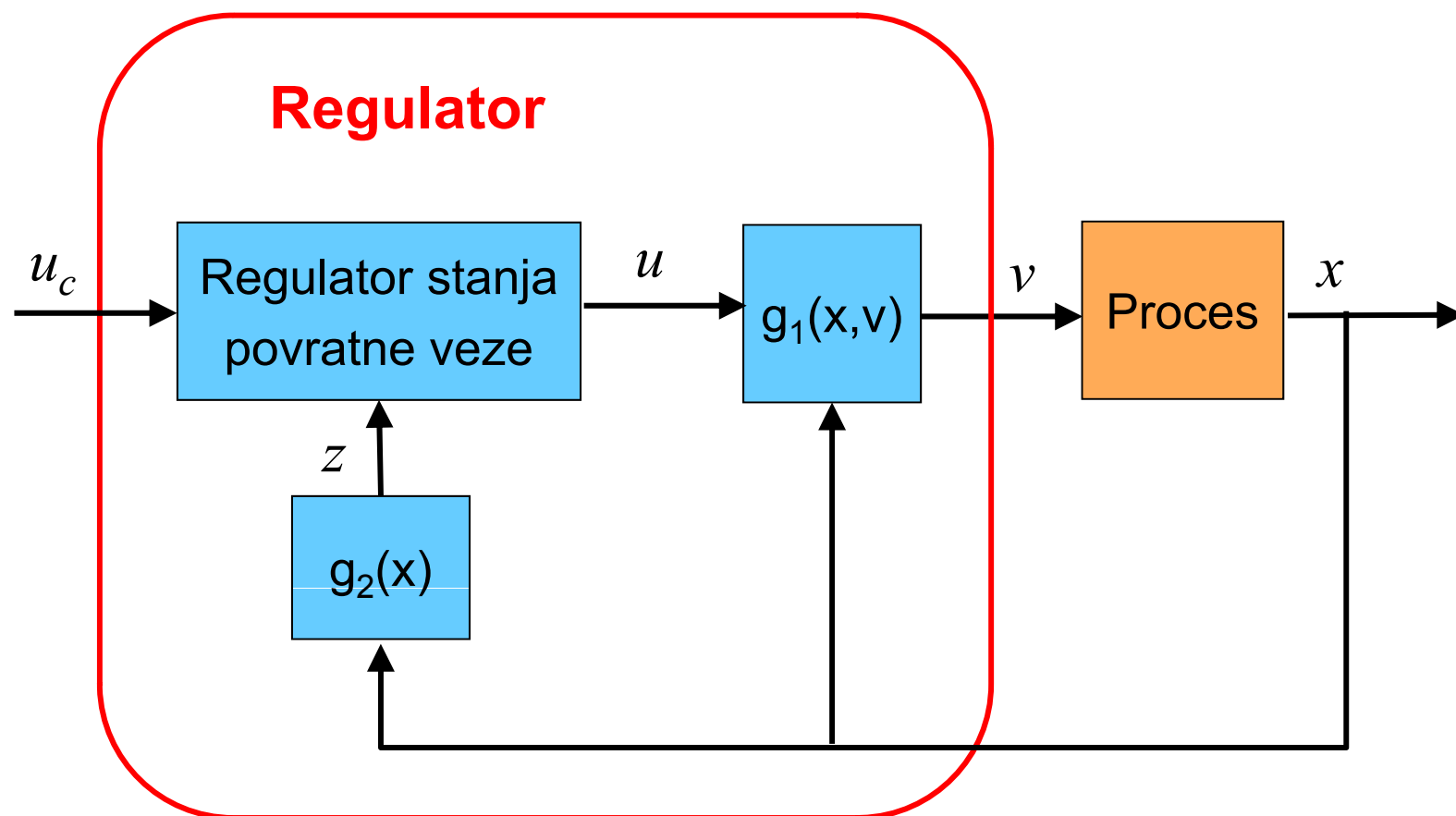
$$F(x_1, x_2, u) = \frac{\partial f_1}{\partial x_1} f_1 + \frac{\partial f_1}{\partial x_2} f_2 = \omega^2(u_c - x_1) - 2\zeta\omega f_1(x_1, x_2)$$

- Rješavanjem ove jednadžbe po  $u$  daje željenu povratnu vezu.
- Generalizacija ovog primjera sistema drugog reda zahtijeva rješenje generalnog problema transformiranja nelinearnog u linearni sistem sa nelinearnom povratnom vezom.



## Korištenje nelinearnih transformacija

- Opći slučaj kada je puno stanje mjerljivo prikazan je na slici.





## Korištenje nelinearnih transformacija

- Kod sistema sa prethodne slike imamo nelinearnu transformaciju:

$$u = g_1(x, v)$$

$$z = g_2(x)$$

koja čini relaciju između  $v$  i  $z$  linearom.

- Regulator stanja povratne veze na temelju  $z$ -a se računa i daje na svom izlazu  $v$ .
- Upravljački signal  $v$  se zatim transformira u originalni upravljački signal  $u$ .
- Linearizacija povratne veze zahtijeva dobro znanje o nelinearnosti procesa.



## Korištenje nelinearnih transformacija

- Neizvjesnosti će dati transformirani sistem koji nije linearan, iako može biti lakši za upravljanje.
- Jednostavan primjer ove vrste problema javlja se kod **upravljanja industrijskim robotima**.
- U ovom slučaju osnovna (momentna) jednadžba može se napisati kao:

$$J \frac{d^2\varphi}{dt^2} = T_e$$

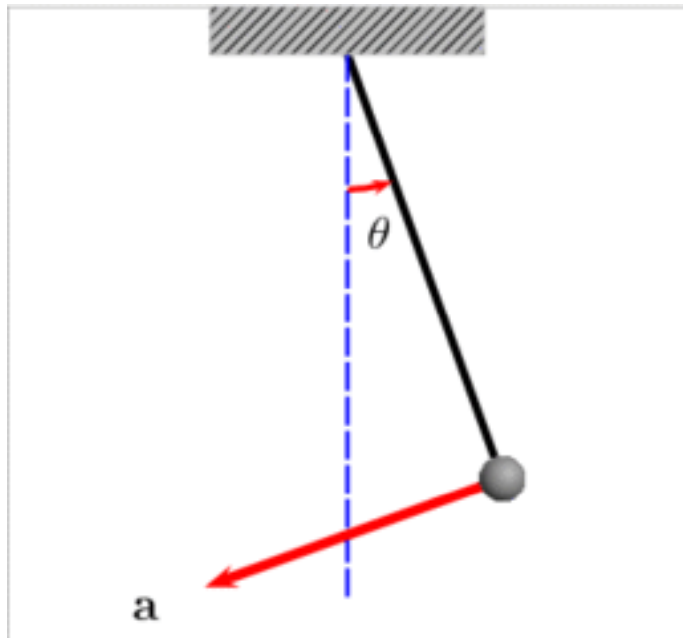
gdje je  $J$  moment inercije,  $\varphi$  je ugao zakreta segmenta (zglobo) i  $T_e$  je moment koji ovisi o struji motora, uglu zakreta  $\varphi$  i njegovoj prvoj i drugoj derivaciji.

- Nelinearna povratna veza je postignuta na temelju određivanja struja koje daju željeni moment.



## Korištenje nelinearnih transformacija

- Nelinearne transformacije njihala (klatna).
- Razmatra se sistem:



$$\begin{aligned}\frac{dx_1}{dt} &= x_2 \\ \frac{dx_2}{dt} &= -\sin x_1 + u \cos x_1 \\ y &= x_1\end{aligned}\tag{17}$$

koji opisuje klatno, gdje je ubrzanje kuglice  $a$  ulaz i ugao zakreta u odnosu na vertikalnu os izlaz sistema  $y$ .



## Korištenje nelinearnih transformacija

- Uvođenjem transformiranog upravljačkog signala:

$$v(t) = -\sin x_1(t) + u(t) \cos x_1(t)$$

dobivaju se linearne jednadžbe:

$$\frac{dx}{dt} = \begin{bmatrix} 0 & 1 \\ 0 & 0 \end{bmatrix} x + \begin{bmatrix} 0 \\ 1 \end{bmatrix} v$$

- Pretpostavlja se da su  $x_1$  i  $x_2$  mjerljivi i uvodi se zakon upravljanja:

$$v(t) = -l'_1 x_1(t) - l'_2 x_2(t) + m' u_c(t)$$



## Korištenje nelinearnih transformacija

- Funkcija prijenosa od  $u_c$  prema  $y$  je:

$$\frac{m'}{s^2 + l'_2 s + l'_1}$$

- Neka je željena karakteristična jednadžba:

$$s^2 + p_1 s + p_2 = 0 \quad (18)$$

koja je dobivena sa:

$$l'_1 = p_2, \quad l'_2 = p_1, \quad m' = p_2$$



## Korištenje nelinearnih transformacija

- Transformacija u originalni upravljački signal (unazad) daje:

$$\begin{aligned} u(t) &= \frac{v(t) + \sin x_1(t)}{\cos x_1(t)} = \\ &= \frac{1}{\cos x_1(t)} (-p_2 x_1(t) - p_1 x_2(t) + p_2 u_c(t) + \sin x_1(t)) \end{aligned}$$

(19)

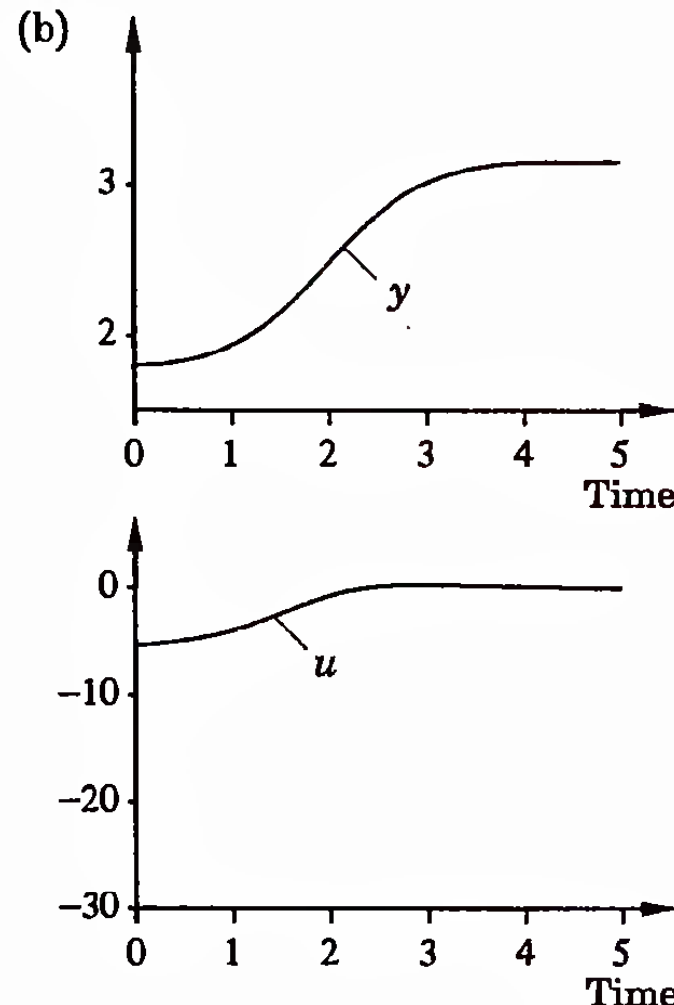
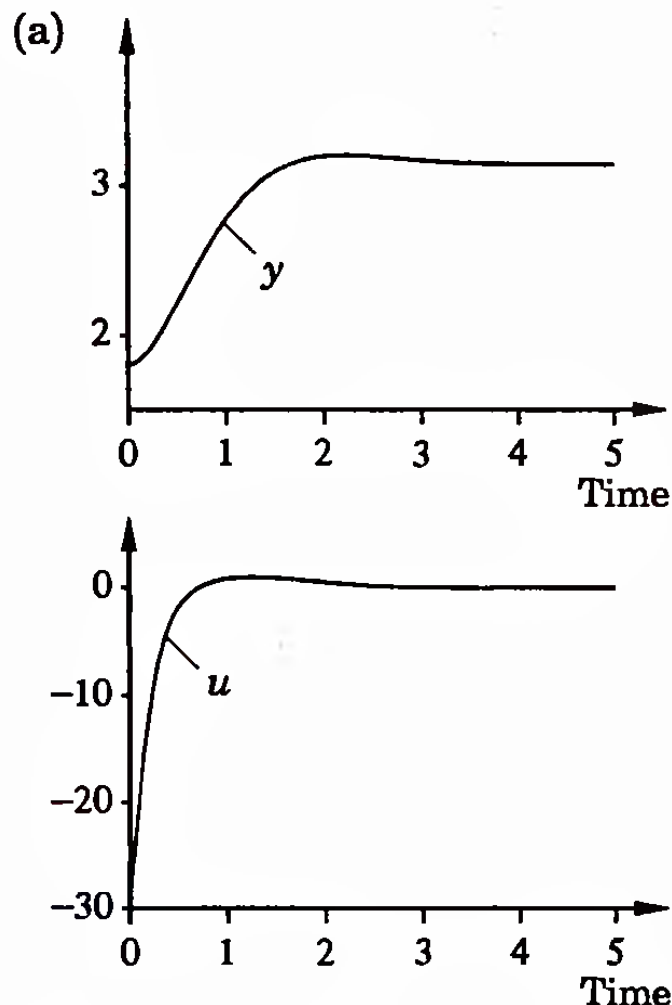
- Slijedi da je regulator jako nelinearan.
- Rezultati dobiveni sa regulatorom (19) i regulatorom sa fiksnim pojačanjem (20) dani su na sljedećoj slici.

$$u(t) = -l_1 x_1(t) - l_2 x_2(t) + m u_c(t) \quad (20)$$



## Korištenje nelinearnih transformacija

- Odzivi upravljačkog signala i izlaza sistema: (a) regulator (19) i b) regulator (20).





## Korištenje nelinearnih transformacija

- Parametri  $l_1$ ,  $l_2$  i  $m$  odabrani su tako da daju karakterističnu jednadžbu (18) kada je sistem lineariziran oko radne tačke  $x_1 = \pi$  (uspravni položaj).
- U ovom slučaju dobiva se  $p_1 = 2.8$  i  $p_2 = 4$ .
- Jednadžba (18) može se koristiti za sve uglove izuzev za  $x_1 = \pm\pi$ , to jest kada je klatno u horizontalnom položaju.
- Amplituda upravljačkog signala raste unutar određenih granica kada se  $x_1$  približava  $\pm\pi/2$ .
- Linearizirani model nije upravljiv u ovoj radnoj tački.